



بررسی القای آپوپتوز توسط عصاره هیدرولکلی گیاه آرتمیزیا سیری (درمنه دشتی) و آرتمیزیاولگاریس بر روی سلول‌های ملانومای موشی B16

مریم پنجه شاهین: گروه فارماکولوژی و توکسیکولوژی، دانشکده داروسازی، دانشگاه علوم پزشکی شیراز، شیراز، ایران

امین رضاکبریزاده: گروه فارماکولوژی و توکسیکولوژی، دانشکده داروسازی، دانشگاه علوم پزشکی شیراز، شیراز، ایران

محمد مهدی زرشناس: گروه داروسازی سنتی، دانشکده داروسازی، دانشگاه علوم پزشکی شیراز، شیراز، ایران (* نویسنده مسئول)

mmzarshenas@gmail.com

افشین محمدی بردباری: گروه فارماکولوژی و توکسیکولوژی، دانشکده داروسازی، دانشگاه علوم پزشکی شیراز، شیراز، ایران (* نویسنده مسئول)

toxicology@sums.ac.ir

چکیده

کلیدواژه‌ها

آرتمیزیا سیری،
آرتمیزیاولگاریس،
کاسپازها،
سمیت سلولی،
آپوپتوزیس،
سرطان،
B16 سلول‌های

تاریخ دریافت: ۱۴۰۲/۰۴/۱۲
تاریخ چاپ: ۱۴۰۲/۰۹/۱۹

زمینه و هدف: امروزه استفاده از گیاهان دارویی در درمان بیماری‌های مختلف رشد چشمگیری داشته است که یکی از این بیماری‌های مهم سرطان می‌باشد. هدف از انجام این مطالعه بررسی القای آپوپتوز توسط گیاه آرتمیزیا سیری و آرتمیزیاولگاریس بر روی رده سلولی B16 (ملانوما) می‌باشد.

روش کار: ابتدا عصاره هیدرولکلی این دو گیاه توسط پرکولا سیون تهیه و سلول‌های کشت داده شده B16 برای انجام تست‌های مورد نظر مورد استفاده قرار گرفت. با توجه به IC_{50} به دست آمده از تست MTT تست‌های اندازه گیری میزان سیتوکروم سی و کاسپاز ۳ توسط کیت استاندارد انجام شد. همچنین برای شناسایی جزء فعل از کوئرستین به عنوان شاخص فلاونوئیدی استفاده شد.

یافته‌ها: بر اساس تست در صد بقاء میزان IC_{50} گیاه آرتمیزیا سیری ۴۸۰ میکروگرم/میلی لیتر و گیاه آرتمیزیاولگاریس ۵۰۰۰ میکروگرم/میلی لیتر محاسبه شد. همچنین IC_{50} فلاونوئید کوئرستین نزدیک به ۵۰۰ میکروگرم/میلی لیتر بود. نتایج حاصل از تست نشان دهنده تفاوت معنی دار فعالیت کاسپاز ۳ در گروه‌های مورد مطالعه نسبت به کنترل منفی (DMSO) و کنترل مثبت (DMSO) در گیاه آرتمیزیاولگاریس می‌باشد و در حالی که افزایش فعالیت کاسپاز ۳ در گیاه آرتمیزیا سیری نسبت به کنترل منفی (DMSO) وجود دارد. نتایج حاصل از تست نشان دهنده افزایش معنادار سیتوکروم سی ازد شده در گروه‌های مورد مطالعه و در هر دو گیاه نسبت به گروه کنترل (DMSO) می‌باشد.

نتیجه گیری: با توجه به نتایج این مطالعه می‌توان نتیجه گرفت که هر دو گیاه باعث القای آپوپتوز از مسیر درون سلولی و میتوکندریالی می‌شوند؛ هرچند جداسازی اجزاء فعل گیاه برای مطالعات درون سلولی و برون سلولی بعدی ضروری است.

تعارض منافع: گزارش نشده است.

منبع حمایت‌کننده: دانشگاه علوم پزشکی شیراز

شیوه استناد به این مقاله:

Pangejshahin M, Rezaakbarzadeh A, Zarshenas M. Evaluation the effect of hydroalcoholic extract of Artemisia siberi and Artemisia vulgaris L on the induction of apoptosis in B16 cell lines. Razi J Med Sci. 2023(10 Dec);30:141.

* انتشار این مقاله به صورت دسترسی آزاد مطابق با CC BY-NC-SA 4.0 صورت گرفته است.



Evaluation the Effect of Hydroalcoholic Extract of *Artemisia siberi* and *Artemisia vulgaris L* on the Induction of Apoptosis in B16 Cell Lines

Maryam Panje shahin: Pharm.D, School of Pharmacy, Shiraz University of Medical Sciences, Shiraz, Iran

Aminreza Akbarizadeh: MSc, School of Pharmacy, Shiraz University of Medical Sciences, Shiraz, Iran

✉ Mohammad Mehdi Zarshenas: PhD, School of Pharmacy, Shiraz University of Medical Sciences, Shiraz, Iran
(*Corresponding Author) mmzarshenas@gmail.com

✉ Afshin Mohammadi Bardbori: PhD School of Pharmacy, Shiraz University of Medical Sciences, Shiraz, Iran
(*Corresponding Author) toxicology@sums.ac.ir

Abstract

Background & Aims: Cancer is the second leading cause of death worldwide after cardiovascular disease in spite of a fact that a decrease in cancer mortality rate has been reported (1). Although, cancer is the third cause of death in IRAN after cardiovascular diseases and road accidents and it's mortality rate are more than developed conteries. Cancer chemotherapy of cytotoxic drugs and radiotherapy are accompanied by highly deleterious and often life-threatening side effects. In recent years, the use of medicinal plants in the treatment of diseases such as cancer has developed significantly (2). Among them, Artemisia is a large genus of plant, around 200 and 400 species which is grow in temperate climates of dry or semiarid habitats. The most well known species include *A. vulgaris*, *A. tridentata*, *A. annua* and *A. absinthium*. Most species have aromas and bitter tastes from terpenoids and sesquiterpene lactones and bioactive phytochemicals that have been reported to exhibit several human health effects including antimalarial, antioxidant, neuroprotective, anti-inflammatory, and antimicrobial activities (3). Recently, artemisinin derivative (artemisinin-combination therapies) are accepted as a gold standard treatment worldwide for malaria caused by *Plasmodium falciparum*. In the case of cancer treatment, the plant species and its bioactive compounds target multiple pathways. Also, due to the promising features of herbal plant its anti-cancer activity has been investigated for use in modern medicine. In this case, artemisinins have shown potent anticancer activity in multiple cancers in vitro and in vivo via different mode of action including autophagy, cell cycle arrest, and apoptosis.

A well-known type of programmed cell death which described in 1842 is apoptosis. The cells initiates intracellular apoptotic signaling in response to many factors including stress, heat, radiation, viral infection as well as hypoxia. Several proteins and mediators are involved, but two main methods of regulation have been identified: the intrinsic pathway is also known as the mitochondrial pathway and extrinsic pathway is identified by TNF and Fas pathways.

Apoptosis is one of the programmed cell death that occurs in multicellular organisms such as mammals and can be activated by either intrinsic or extrinsic factors. There are at least two kind of signaling pathways that lead to apoptosis, the intrinsic pathway of apoptosis and the extrinsic pathway of apoptosis. The extrinsic pathway of apoptosis is triggered by the extracellular environment and death signals. The intrinsic pathway of apoptosis pathway is linked to mitochondria and DNA damage. In both the intrinsic and extrinsic pathway of apoptosis, signaling results in the activation of a family of Cys (Cysteine) proteases, named caspases. In the mitochondrial-dependent pathway Cyto C release lead to formation of a catalytic multiprotein protein so called apoptosome that can activates Caspase-9. Activated Caspase-9 then is able to cleave Caspase-3 and apoptosis cascade. In the other hand, during apoptosis which is initiated by mitochondria,

Keywords

Artemisia siberi,
Artemisia vulgaris L,
Cytotoxicity,
Caspases,
Apoptosis,
Cancer,
B16 cells

Received: 03/07/2023

Published: 06/12/2023

cytochrome c is released through the activation of Bax and Bak proteins. Upon cytochrome c is released it binds with Apoptotic protease activating factor – 1 also called Apaf-1. The Apaf-1 then bind to pro-caspase-9 to create a protein complex known as an apoptosome. Active form of initiator caspase of 9 is cleaved by apoptosome and start to cleaves and activates effector pro-caspase into the effector caspase-3 (4).

In several studies have shown that different types of Artemisia Sp. might have anticancer effect but the mode of action of its anticancer activity is not well known. In this regard, the aim of this study was to evaluate the effect of hydroalchoholic extract of Artemisia siberi Besser. and Artemisa vulgaris L. on the induction of apoptosis in B16 cell lines.

Methods: For this purpose, the hydroalchoholic extracts of these two plants were prepared by percolation method. Then the B16 melanoma cell lines were grown on Dulbecco's Modified Eagle Medium (DMEM) cell culture and 3-(4,5-dimethylthiazol-2-yl)-2,5-diphenyltetrazolium bromide (MTT) method was utilized to obtain the appropriate concentrations of Artemisia siberi Besser. and Artemisa vulgaris L. for determination of The half maximal inhibitory concentration (IC₅₀) of each extract. After calculation of IC₅₀, the amount of released cytochrome C and activity of caspase 3 were measured by using standard kits. In these experiments, duxorubicine was used as positive control. For possible identification of active ingredient of extracts, Quersetin was used as flavonoid marker.

Results: The half maximal inhibitory concentration (IC₅₀ value) of the Artemisia siberi Besser. and Artemisa vulgaris L. was determined by constructing dose-response curves. According to the IC₅₀ values, their potencies can be ranked as follows:

Artemisia siberi Besser > Quercetin > Artemisa vulgaris L. According to the MTT test, IC₅₀ values were 480 µg/ml, 500 µg/ml and 5000µg/ml for Artemisia siberi Besser, Quercetin and Artemisia. Vulgaris L, respectively.

The amount of cytochrome C release for Artemisia siberi Besser. and Artemisa vulgaris L. was significantly increased 1.53 and 1.93 time more than control group respectively. There was a significant difference between the increases of activities of caspase3 by Artemisia siberi Besser. and Artemisa vulgaris L compared to the negative and positive controls (1.63 and 4.7times more than negative control respectively). There was also significant difference between the increases activities of caspase3 by Artemisa vulgaris L compared to positive control.

Conclusion: According to the outcomes, it is concluded that the hydroalchoholic extracts of A. vulgaris and A. siberi can induce apoptosis via mitochondrial-dependent pathway as a considerable underlying mechanism. The IC₅₀ value of Artemisia siberi Besser is comparable with Quercetin. Also, the caspase 3 activity induced by Artemisa vulgaris L is notable. However, inorder to show that this phytochemical have anticancer activity, fractionation and separation of active ingredients as well as more in vitro and in vivo studies seems to be necessary.

Conflicts of interest: None

Funding: Shiraz University of Medical Sciences

Cite this article as:

Pangejshahin M, Rezaakbarzadeh A, Zarshenas M. Evaluation the effect of hydroalchoholic extract of Artemisia siberi and Artemisia vulgaris L on the induction of apoptosis in B16 cell lines. Razi J Med Sci. 2023(10 Dec);30:141.

*This work is published under CC BY-NC-SA 4.0 licence.

مقدمه

می‌نمایند و فرایند آپوپتوz صورت می‌گیرد. در این میان نقش کاسپاز^۳ که در پایین دست کاسپازهای بالا دستی شروع کننده و در هر دو مسیر داخلی و خارجی دیده می‌شود حائز اهمیت است. کاسپاز^۳ از زیموژن ۳۲ کیلو دالتونی ساخته شده که نهایتاً به اجزاء ۱۷ و ۱۲ کیلو دالتونی شکسته و بازآرایی می‌شود تا شکل فعل کاسپاز^۳ به دست آید (۱۱).

جنس درمنه ۱ (Artemisia) متعلق به خانواده آستراسه (Asteraceae) و بزرگ‌ترین جنس آنتمیده (Anthemideae) می‌باشد که دارای حدود ۵۰۰ گونه است که تمرکز اصلی این گیاه در آسیای مرکزی می‌باشد (۱۲). جنس درمنه دارای گونه‌ها و رویشگاه‌های مختلف در نقاط مختلف دنیا است. گونه‌های این جنس از مناطق آلپی تا استپی گستردۀ می‌باشند. گیاه درمنه نیز در ایران همانند سایر نقاط دنیا دارای پراکنش و سیعی است به طوری که در کلیه مناطق رویشی کشور از هیرکانی گرفته تا صحاری - سندی و نواحی ایرانی و تورانی می‌توان گونه‌هایی از آن را مشاهده نمود (۱۳).

دارای طیف وسیعی از فعالیت‌های بیولوژیک از جمله سیتوتوکسیک، آنتی-هپاتوتوكسیک، ضدمیکروب، ضدبакتری، ضدانگل، ضدمالاریا، ضدقارچ، ضدسمومیت و فعالیت آنتی اکسیدانی می‌باشد (۱۴)، (۱۵). از ترکیبات اصلی انسانس درمنه کامفور است که جزو کتون‌های مونوتربنوثیوئید بوده، بسیار فرار است، به آسانی جذب پوست می‌شود و جهت مصارف دارویی و صنعتی کاربرد دارد (۱۶).

نتایج مطالعات گذشته نشان داده است که عصاره متاتولی قسمت‌های مختلف درمنه دشتی دارای خاصیت سایتوتوکسیک بر سلول سرطان پستان- MCF-7 (Michigan Cancer Foundation-7) (می‌باشد (۱۷). در مطالعات پیشین وجود آلفا پینین، بتا پین، جرماتکرین D، لیمونن و میرسن موجود در درمنه عامل احتمالی مهار رشد سلول‌های سرطان سینه انسانی، کبد و ملانوما گزارش شده اند (۱۸). همچنین یوپاتلین موجود در آرتمیزیا آسیاتیکا (Artemisia Asiatica) از عوامل الfa کننده آپوپتوz در سلول‌های پرومیلوسیتیک (HL-60) و سرطان معده شناخته شده است (۱۹). در انسانس درمنه دشتی ۳۱ ترکیب مشخص شده است که

سرطان یکی از عوامل مهم مرگ و میر در سراسر جهان می‌باشد (۱). به دلیل عوارض جانبی داروهای شیمیایی استفاده از گیاهان دارویی برای درمان بیماریها در حال افزایش است (۲). یکی از گیاهان مهم در این ارتباط خانواده درمنه می‌باشد که دارای خواص زیادی است (۳). گیاهان دارویی منجلمه این خانواده به دلایل مهم پزشکی در سراسر جهان مورد استفاده قرار می‌گیرند (۴، ۵). طبق گزارش سازمان بهداشت جهانی ۸۰ درصد مردم کاربرد پزشکی سنتی را به پزشکی عمومی ترجیح می‌دهند (۷). باید توجه داشت که بیشتر داروهای شیمی درمانی مورد استفاده در سرطان‌ها سلول‌های طبیعی را هم تحت تاثیر قرار می‌دهند. حال آنکه استفاده از ترکیبات طبیعی با اثرات خفیف تر ممکن است سمیت کمتری را بر سلول‌های سالم بر جای گذارد. بنابراین استفاده از گیاهان سنتی برای کنترل سرطان‌ها به طور وسیعی افزایش یافته است (۸).

آپوپتوz یک رخداد طبیعی سلولی است که به کمک آن میزان رشد و تکثیر سلول‌های بدن تنظیم و از ایجاد سرطان جلوگیری می‌شود. مرگ سلولی به دلیل آپوپتوz با مشخصات مرفولوژیکی قابل تمایز و در آخرین مرحله مرگ سلولی با تولید اجسام آپوپتوزی مشخص می‌گردد (۹). چرخش فسفاتیدیل سرین به سمت بیرون غشای پلاسمایی مانع بروز پاسخ التهابی می‌شود که مشخصه مرگ سلولی نکروز است (۱۰). فرایند آپوپتوz هم مانند تمام مسیرهای سلولی از مسیرهای مشخص و توسط محرك‌های خاص القا می‌شود. دو مسیر آپوپتوz که بیشترین مطالعه را در سلول‌های پستانداران داشته‌اند، یکی مسیر به‌واسطه گیرنده مرگ (مسیر خارجی) است که باعث فعال کردن این گیرنده بر سطح غشای می‌شود و دیگری مسیر داخلی است که به‌واسطه سیگنال‌هایی از میتوکندری رخ می‌دهد (۱۱).

مکانیسم‌های احتمالی در مسیر داخلی القاء آپوپتوz عبارتند از: باز شدن منفذ انتقال نفوذپذیری میتوکندریایی، آزاد شدن سیتوکروم C و تشکیل کمپلکس آپوپتوزوم وفعال شدن کاسپاز ۹ که سبب فعال شدن کاسپازهای اجرایی می‌گردد و در نتیجه کاسپازهای اجرایی روی سوبستراهای خود عمل

می شود (گرنت شماره: ۹۴-۰۷-۰۴۷۴-۱۰).

روش کار

تهیه گیاهان و عصاره هیدرولکلی به روش پرکولاسیون: یک نمونه از گیاه آرتمیزیا سبیری (Artemisia sieberi Besser) از یکی از عطاری های سطح شهر خریداری شده و برای شناسایی به دانشکده داروسازی، گروه داروسازی سنتی انتقال یافت. برای مقایسه نمونه ای از گیاه آرتمیزیا ولگاریس (Artemisia vulgaris L) که در باگچه گیاهان دارویی دانشکده کاشته شده نیز برداشت شده و به کارشناس ارشد گیاهان دارویی در گروه مربوطه جهت تایید جنس و گونه تحويل داده شد. برای هر دو گونه ذکر شده جداگانه بعد از شناسایی شماره اختصاص داده شد که به ترتیب ۹۲۱-PM و ۹۹۱ می باشند.

نمونه های مورد نظر بعد از خرد شدن با آسیاب مورد عصاره گیری قرار گرفتند. روش اتخاذ شده برای عصاره گیری از نمونه ها، روش پرکولاسیون و دستگاه پرکولاتور می باشد. با این روش عمل عصاره گیری به طور کامل انجام می شود. در انتهای ظرف دستگاه پرکولاتور شیر مناسبی تعییه شده که به وسیله آن می توان به خوبی سرعت عصاره تهیه شده را تنظیم کرد. در ابتدا در انتهای ظرف مقدار مناسبی پنبه قرار داده و سپس ۲/۵ کیلوگرم گیاه پودر شده توسط آسیاب برقی را با ترازو وزن و به پرکولاتور انتقال داده شده است و سپس یک کاغذ صافی مرتبط شده با حلال متانول روی سطح گیاه قرار داده شد و چند گلوله شیشه ای روی آن قرار داده تا از جا به جا شدن ذرات گیاه جلوگیری به عمل آید. آرام آرام متانول به میزان ۳/۵ لیتر به آن اضافه کرده تا حلal به طور یکواخت در کل توده گیاهی نفوذ کند. روی سطح پرکولاتور را پوشانده و سپس درب ظرف بسته شد. عمل عصاره گیری به مدت ۳ روز ادامه داشت و شیر پرکولاتور را باز کرده و عصاره به صورت قطره قطره با سرعت تقریبی ۱۰ تا ۱۵ قطره در دقیقه استخراج گردید. عصاره هایی که در ابتدا از پرکولاتور خارج می شوند غلیظ تر اما به تدریج رقیق تر و شفاف تر می شوند. عصاره های به دست آمده جمع

مونوترينها (۲/۸ درصد)، بتا توجون (۸/۹ درصد)، کامفر (۵/۱ درصد)، آلفا توجون (۴/۶ درصد) و سینئول (۷/۵ درصد) به ترتیب بیشترین درصد اسانس گیاه را تشکیل می دهند (۲۰). با توجه به مطالعات صورت گرفته ترپنوفیدها و فلاونوئیدهای موجود در آرتمیزیا آنا (Artemisia annu) دارای سمیت بر چندین رده سلول سرطانی از سانه استند (۲۱، ۲۲). آرتمیزینین یکی از سسکوئی ترپن هایی است که در گونه های مختلف این گیاه وجود دارد و فعالیت ضد سرطانی آن در محیط برون تنی و درون تنی ثابت شده است (۲۲). اثر آرتمیزین موجود در این گیاه بر روی رده سلول های سرطانی MSV-HL13 مورد بررسی قرار گرفته است. همچنین در مطالعه وو و همکاران اثرات آپپتوزی آرتمیزیا آنا علیه سلول اندوتیال ورید اومبليکال گزارش شد (۲۳). پاسخ پلنتوتروپیک آن در سلول های سرطانی شامل مهار رشد سلول، آپپتوزیس، ممانعت از آنژیوژنیس، تخریب مهاجرت سلولی و کاهش پاسخ گیرنده های هسته ای می باشد (۲۴). اثر ضد سرطانی این گیاه بر روی سلول های سرطانی G گزارش شده است (۲۵). مشخص شده است که آرتمیزینین و مشتقات فعلی آن قادر هستند فعالیت آنژیوژن و متاستاز را در بعضی سلول های سرطانی مهار کنند. هووان چن و همکاران اثرات ضد سرطانی و ضد آنژیوژنیک آرتمیزینین و هیدروکسی آرتمیزینین JAR را در رده سلول های سرطانی Hela سرطان رحم، سرطان کوریون رحم، RD سرطان ترانسسورسال جنینی HO-8910 سرطان تخمدان سنجیدند. مشخص شد هر دو نوع ماده اثرات ضد سرطانی علیه همه رده های سلولی دارند، اما هیدروکسی آرتمیزینین قوی تر بود (۲۶).

هدف از این مطالعه ارزیابی اثرات القای آپپتوز تو سطع عصاره هیدرولکلی گیاه آرتمیزیا سبیری (Artemisia sieberi) و آرتمیزیا ولگاریس (Artemisia sieber) بر روی سلول های سرطانی ملانومای موشی B16 می باشد.

تقدیر و تشکر بدین و سیله از دانشگاه علوم پزشکی شیراز به خاطر حمایت مالی از این طرح قدردانی

چاهک‌ها کاملاً خشک شوند. سپس ۲۰۰ میکرولیتر DMSO به هر چاهک اضافه شده و جذب در طول موج ۵۴۰ نانومتر توسط دستگاه اسپکتروفوتومتر خوانده شد (۲۷).

اندازه گیری آزادسازی سیتوکروم C: میزان آزادسازی سیتوکروم C از میتوکندری به سیتوزول توسط کیت الایزای انسانی سیتوکروم سی از شرکت Abcam و طبق پروتکل ذیل انجام شد. این کیت برای ارزیابی کمی سیتوکروم C انسانی براساس تکنولوژی بیوتین آنتی بادی دوگانه ساندویچ استفاده می‌شود و با روش دو مرحله‌ای انجام می‌شود که در آن محلول‌ها به کمترین میزان رقیق سازی احتیاج دارند. از این کیت می‌توان برای اندازه گیری سیتوکروم C نمونه‌های انسانی سرم، پلاسمما، عصاره سلولی، قسمت‌های شناور کشت سلولی و دیگر سیالات بیولوژیکی استفاده کرد. در این کیت از متدهای ساندویچ الیزا استفاده می‌شود. پلیت میکروالیزا موجود در این کیت با آنتی بادی مخصوص سیتوکروم C پوشانده شده است. نمونه‌ها یا استانداردها به چاهک‌های مناسب از پلیت میکروالیزا اضافه و با آنتی بادی به خصوص ترکیب می‌شوند. سپس یک آنتی بادی شناساگر بیوتینیله مخصوص برای سیتوکروم C و Avidine-HRP conjugate به صورت پی در پی به هر چاهک میکروپلیت اضافه و انکوبه می‌شود. اجزای آزاد شسته و دور ریخته می‌شوند. محلول سوبسترا به هر چاهک اضافه می‌شود. فقط چاهک‌هایی که حاوی سیتوکروم C، آنتی بادی شناساگر بیوتینیله و Avidine-HRP conjugate هستند به رنگ آبی در می‌آیند. واکنش آنزیم-سوبسترا با افزودن یک محلول سولفوریک اسید خاتمه می‌یابد و به رنگ زرد تبدیل می‌شود. جذب نوری (OD) به وسیله اسپکتروفوتومتر در طول موج 450 ± 2 نانومتر اندازه گیری می‌شود. مقدار OD با غلظت سیتوکروم C متناسب است. می‌توان غلظت سیتوکروم C موجود در نمونه را با مقایسه OD نمونه و استاندارد محاسبه نمود.

اندازه گیری فعالیت آنزیم کاسپاز-۳: کیت مورد استفاده در این تست کیت کاسپاس ۳ از شرکت Abcam به روش نور سنجی، فعالیت کا سپار وابسته به

آوری و حجم آن‌ها یادداشت شد و تحت شرایط خلا تو سط روتاری تغليظ شد و عصاره‌های تغليظ شده در دمای یخچال تا زمان استفاده نگهداری شدند. راندمان عصاره‌های آرتميزيا سبييري و آرتميزيا ولگاريis به ترتيب ۵/۵ و ۴/۵ درصد وزني- وزني می‌باشد.

کشت سلول‌های ملانومای موشی B16: در این مطالعه از رده سلول‌های ملانومای موشی با نام B16 استفاده گردید. سلول‌های Murine B16-F10 (NCBI) خريداری شد. در اين مطالعه از محیط کشت DMEM حاوی ۱۰٪ FBS آنتيبيوتيك پني سيلين-استرپтомايسين (PEST) استفاده شد. انکوباتور مورد استفاده برای رشد سلول‌ها دارای ۵٪ دی‌اكسيدکربن، دمای ۳۷ سانتي گراد و رطوبت ۹۵٪ است.

تست MTT: در اين تست کريستال‌های ترازوليلوم زرد رنگ MTT از شرکت سيگمادر میتوکندری سلول‌های زنده احیا شده و به فورمازانارگوانی رنگ تبدیل می‌شود. هرچه سلول‌ها فعال‌تر و تعداد شان بیشتر باشد میزان رنگ ايجاد شده بيشتر است. جذب نوری رنگ ارغوانی ظاهر شده در طول موج ۴۹۰-۵۴۰ نانومتر با استفاده از دستگاه الیزا ريدر اندازه گيری می‌شود. برای انجام آزمایش سلول‌ها در پلیت ۹۶ قابی سید شده و به مدت ۲۴ ساعت در دمای ۳۷ سانتي گراد انکوبه شدند. بعد از اتمام زمان انکوباسيون با غلظت‌های مختلف عصاره گیاه (۰/۰۱ تا ۰/۰۱ میلی گرم/میکرولیتر) و DMSO به عنوان گروه کنترل تیمار شدند. سپس به مدت ۲۴ ساعت دیگر در دمای ۳۷ سانتي گراد انکوبه شدند.

پس از اتمام زمان تیمار، تست MTT به اين شرح بر روی سلول‌ها انجام گرفت. MTT با غلظت نهایي ۰/۵ میلی گرم/میلی لیتر تهیه شد. محیط کشت روبي چاهک‌ها به آرامی به وسیله سمپلر تخلیه شده، سپس ۱۵۰ میکرولیتر از محلول آماده شده MTT به چاهک‌ها اضافه شده و پلیت به مدت ۴ ساعت در دمای ۳۷ سانتي گراد انکوبه شد. سپس محیط کشت به وسیله سمپلر خارج و سلول‌ها را به مدت ۱ ساعت در محیط تاریک و دمای اتاق (۲۵ سانتي گراد) انکوبه کرده تا

داده‌ها با استفاده از برنامه کامپیوتری گراف پد پریزم، آزمون آماری آنوای یک طرفه و آزمون تست تی همراه تست توکی برای مقایسه گروه‌های مورد آزمایش استفاده گردید. اختلاف بین گروه‌ها در هر نقطه با $p < 0.05$ معنی‌دار تلقی می‌شود.

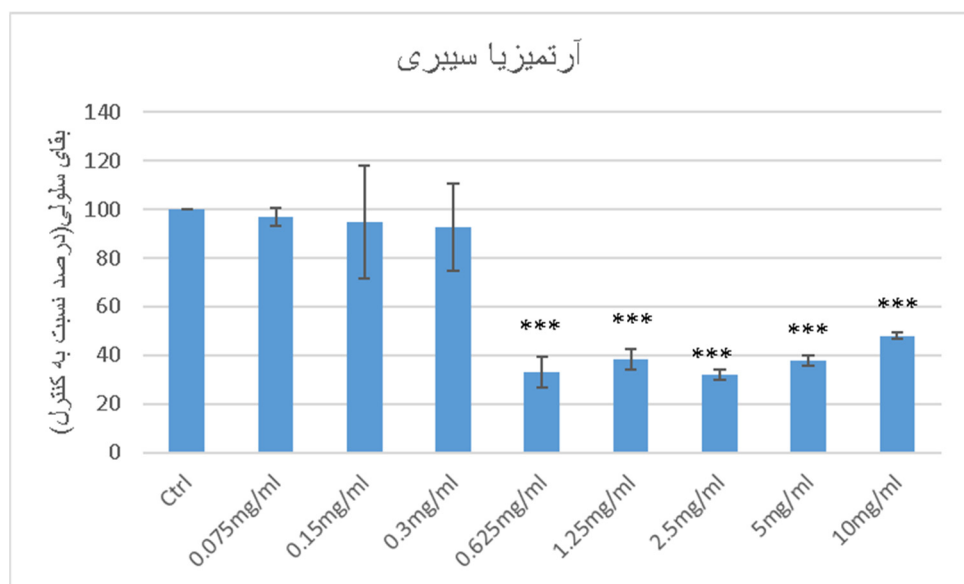
یافته‌ها

اثرات وابسته به دوز عصاره هیدرولکلی آرتمیزیا سیبری /ولگاریس و فلاونوئید کوئرستین بر روی درصد بقاء سلولی (تست MTT): برای بررسی اثر غلظت‌های مختلف گیاهان آرتمیزیا سیبری، آرتمیزیا ولگاریس و فلاونوئید کوئرستین بر روی افزایش یا کاهش تقسیم سلولی، سلول‌های کشت شده طبق پروتکل ذکر شده تیمار شد و افزایش یا کاهش پرولیفراسیون سلولی پس از ۲۴ ساعت به وسیله تست MTT در طول موج ۵۴۰ نانومتر بررسی شد (شکل ۱). با توجه به نتایج حاصله میزان IC₅₀ آرتمیزیا سیبری ۴۸۰ میکرو گرم/میلی لیتر محاسبه شد.

Asp-Glu-Val-Asp) DEVD-Substrat کاسپاز) را شناسایی می‌کند. وقتی که DEVD از سوبسٹرای نشاندار DEVD-pNA به وسیله کاسپاز ۳ یا کاسپازهای مرتبط جدا می‌شود، نشر نور pNA آزاد می‌تواند توسط یک اسپکتروفوتومتر در طول موج ۴۰۵ یا ۴۰۰ نانومتر اندازه‌گیری شود. با مقایسه جذب pNA آزاد با یک نمونه آپوپتوزی و کنترل می‌توان افزایش فعالیت کاسپاز ۳ را اندازه‌گیری کرد.

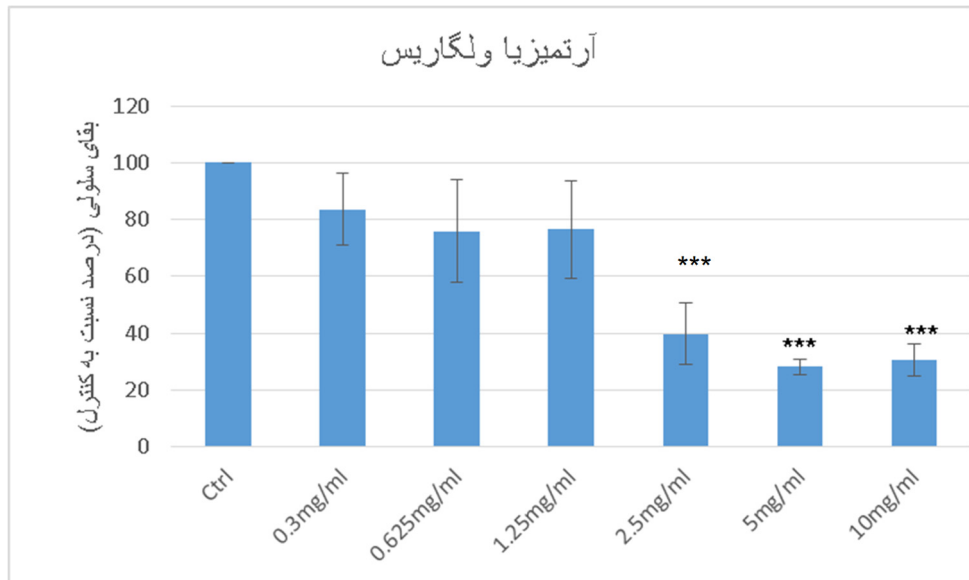
اندازه‌گیری غلظت پروتئین و نرمالیز کردن داده‌ها: غلظت پروتئین هر نمونه به روش بیوراد اندازه‌گیری می‌شود و برای هر کدام از فاکتورهایی که مورد اندازه‌گیری قرار گرفت میزان آن فعالیت با غلظت پروتئین نرمالیز می‌گردد. ارزیابی پروتئین Bio-rad، برای ساس روش برادرفورد رو شی ساده و دقیق برای رنگ سنجی برای اندازه‌گیری غلظت پروتئین محلول است. این آزمون شامل افزودن رنگی اسیدی به محلول پروتئینی و سپس خواندن جذب به وسیله دستگاه اسپکتروفوتومتر می‌باشد. مقایسه جذب خوانده شده با منحنی استاندارد، اندازه نسبی غلظت پروتئین را به دست می‌دهد (۲۸).

جمع آوری داده‌ها و آنالیز آماری: بعد از جمع آوری



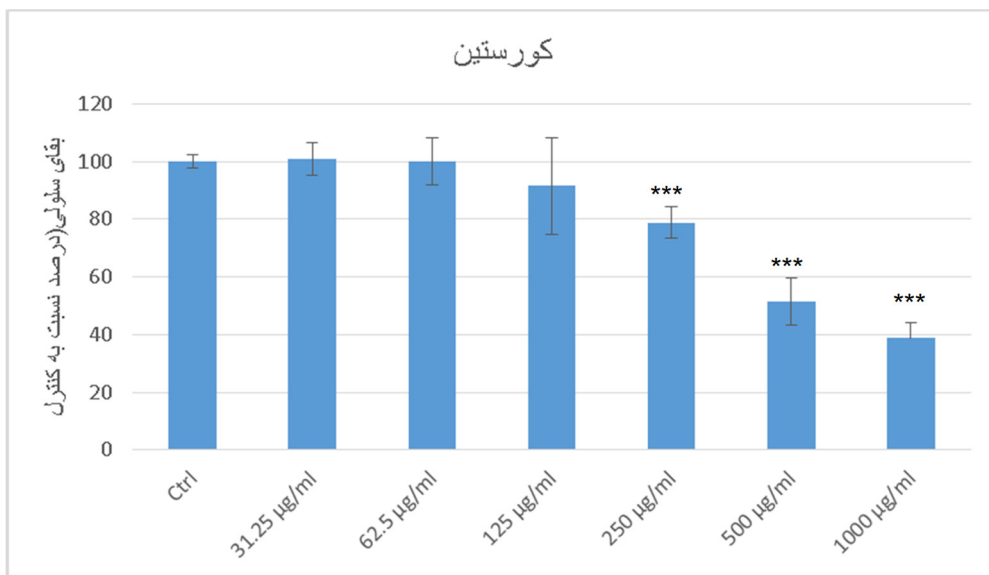
شکل ۱- درصد مرگ سلولی در غلظت‌های مختلف گیاه آرتمیزیا سیبری

*تفاوت معنی‌داری با گروه کنترل $p < 0.001$



شکل ۲- درصد مرگ سلولی در غلظت‌های مختلف گیاه آرتمیزیا ولگاریس

**تفاوت معنی داری با گروه کنترل p<0.001



شکل ۳- درصد مرگ سلولی در غلظت‌های مختلف فلاونوئید کورستین

*تفاوت معنی داری با گروه کنترل p<0.01

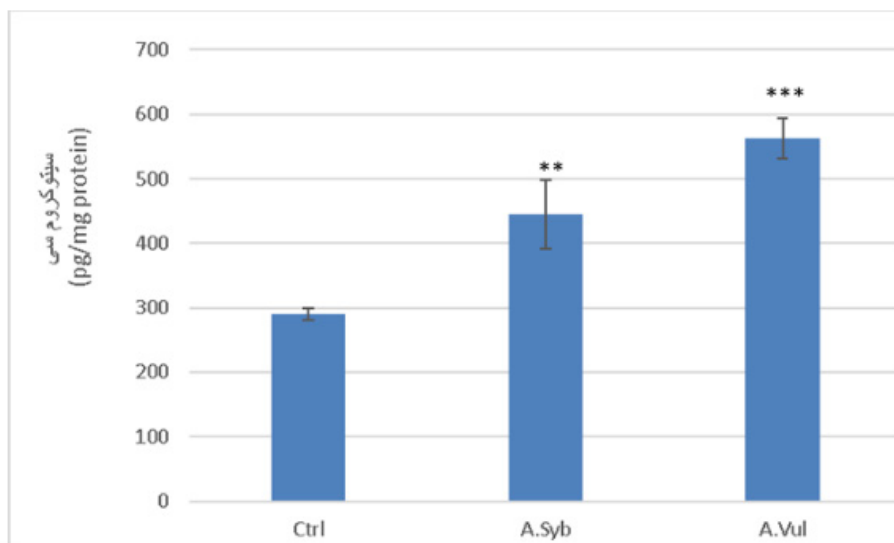
**تفاوت معنی داری با گروه کنترل p<0.001

میزان آزادسازی سیتوکروم C از میتوکندری به سیتوزول توسط Human Cytochrome C ELISA kit و طبق پروتکل شرح داده شده پس از ۲۴ ساعت بر روی سلول‌های کشت داده شده و تیمار شده انجام گرفت و میزان جذب نوری توسط دستگاه الیزا ریدر در طول موج ۴۵۰ نانومتر خوانده شد.

با توجه به نتایج به دست آمده IC₅₀ آرتمیزیا ولگاریس ۵ میلی گرم/میلی لیتر محاسبه شد. (شکل ۲). با توجه به نتایج به دست آمده C₅₀ فلاونوئید ۵۰۰ میکرو گرم/میلی لیتر محاسبه شد (شکل ۳). اثرات وابسته به دوز عصاره هیدرولالکلی آرتمیزیا سیبری /ولگاریس بر روی آزادسازی سیتوکروم C:

اثربیشتری در آزادسازی سیتوکروم C داشت ($p < 0.01$). اثرات وابسته به دوز عصاره هیدروالکلی آرتمیزیا سیری و لگاریس بر روی فعالیت آنزیم کاسپاز ۳ سیتوزولی: به منظور اندازه‌گیری فعالیت آنزیم کاسپاز ۳ سیتوزولی از کیت caspase-3 assay kit استفاده و مراحل آزمایش پس از ۲۴ ساعت بر روی سلول‌های

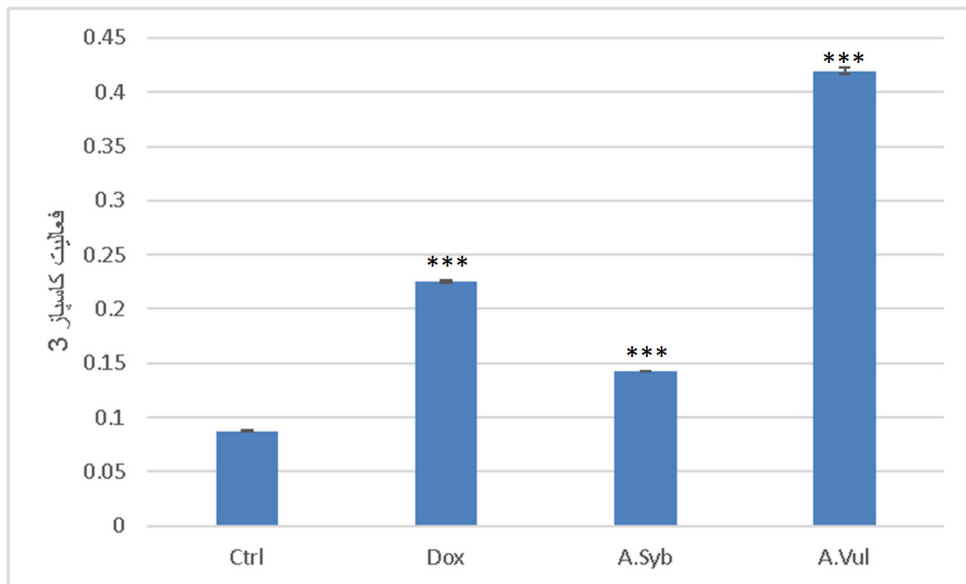
همان طور که در شکل ۴ مشاهده می‌شود هر دو گروه نسبت به گروه کنترل منفی تفاوت معنی داری داشتند. آرتمیزیا ولگاریس با غلظت ۵ میلی گرم/میلی لیتر دارای اثر تقریباً دو برابری در آزادسازی سیتوکروم C داشت ($p < 0.001$). آرتمیزیا سیری نیز با غلظت ۰.۴۸ میلی گرم/میلی لیتر نیز نسبت به گروه کنترل منفی



شکل ۴- اثرات گیاهان آرتمیزیا سیری و لگاریس بر روی آزادسازی سیتوکروم C

*تفاوت معنی داری با گروه کنترل $p < 0.01$

**تفاوت معنی داری با گروه کنترل $p < 0.001$



شکل ۵- اثرات گیاهان آرتمیزیا سیری و لگاریس بر روی میزان فعالیت آنزیم کاسپاز ۳

***تفاوت معنی داری با گروه کنترل $p < 0.001$

ای دیگر اثر ضد سرطانی آرتیمیزینین بروی دو رده سلولی ملانوما (A375P and A375M) بررسی و مشخص شد با مکانیسم مهار بیان alpha v beta 3 integrin و کاهش تولید متالوبوتیناز ۲ خاصیت ضد توموری دارد (۲۹).

در مطالعه حاضر به منظور بروی اثر عصاره دوغیاه ذکر شده بر رده سلولی سرطانی B16 آزمایش‌های مختلفی شامل تست MTT به منظور بررسی القا مرگ سلولی تو سطع عصاره گونه سیبری بر رده سلول‌های B16 و همچنین اندازه گیری میزان آزادسازی سیتوکروم C و کاسپاز ۳ صورت گرفت (شکل‌های ۱-۵).

نتایج تست MTT نشان داد که عصاره هیدرولکلی آرتیمیزیا سیبری با غلظت یک دهم گیاه آرتیمیزیا ولگاریس اثربخشی مشابهی بر روی درصد زنده ماندن سلولی داشته است. لذا، می‌توان چنین نتیجه گرفت که گیاه آرتیمیزیا سیبری به ظاهر ۱۰ برابر قدرت اثربخشی بیشتری نسبت به آرتیمیزیا ولگاریس دارد.

در این تست فلاونوئید کوئرستین به عنوان کنترل استفاده شد با توجه به اینکه کوئرستین در غلظت محاسبه شده توانایی اثربخشی داشته و از طرفی نتایج MTT کوئرستین و آرتیمیزیا سیبری به هم نزدیک بودند، محتمل هست که محتوای فلاونوئیدی به تنها یک عامل ایجاد اثر سایتوتوکسیک نباشد. از سوی دیگر می‌دانیم آرتیمیزینین به عنوان یک سازکوئی ترپن لاکتون در آرتیمیزیا سیبری غلظت خیلی کمی دارد که نمی‌تواند اثربخشی داشته باشد. در کل می‌توان نتیجه گرفت مجموع ترکیبات دیگری با روند مکانیستیک متغیر دیگری بتواند اثر کند ولی کوئرستین به طور قطع به دلیل نتایج حاصل از تست MTT نمی‌تواند اثرگذار باشد.

در نتایج تست غلظت سیتوزولی سیتوکروم C، که می‌تواند به عنوان نمادی از میزان فعال شدن مسیر داخلی آپوپتوز درنظر گرفته شود، مجدداً گیاه آرتیمیزیا سیبری با غلظتی معادل ۱/۱۰ گیاه آرتیمیزیا ولگاریس اثربخشی مشابهی نشان داد. گرچه میزان آزادسازی سیتوکروم سی تو سطع گیاه ولگاریس نسبت به گیاه

کشت داده و تیمار شده با غلظت‌های مشخص آرتیمیزیا سیبری (با غلظت ۰/۴۸ میلی گرم/میلی لیتر) و ولگاریس (۵ میلی گرم/میلی لیتر) و DMSO به عنوان کنترل منفی، داروی ۲۵ میکرو گرم/میلی لیتر Doxorubicin به عنوان کنترل مثبت طبق پروتوكل مربوطه صورت گرفت. سپس جذب در طول موج ۶۹۰ نانومتر خوانده شد که نتایج پس از آنالیزهای آماری طبق شکل زیر می‌باشد.

همان طور که در شکل ۵ م‌شاهده می‌شود، افزایش معناداری در فعالیت کاسپاز ۳ در غلظت ۰/۴۸ میلی گرم/میلی لیتر مربوط به آرتیمیزیا سیبری و ۵ میلی گرم/میلی لیتر مربوط به آرتیمیزیا ولگاریس وجود داشت (p<۰/۰۰۰۱).

بحث

استفاده از گیاهان در درمان سرطان‌ها دارای تاریخچه طولانی است که بیش از ۳۰۰۰ گونه گیاهی که در درمان سرطان استفاده می‌شوند، گزارش شده‌اند. از جمله این گیاهان می‌توان به خانواده‌های لیلیاسه با ماده موثره‌ی آلين-آلیسین و آلوین-آلولئ امودین و زنجبلیل با ماده موثره‌ی کورکومین-ترمون اشاره نمود.

در این مطالعه اثرات القای آپوپتوز توسط عصاره هیدرولکلی گیاه آرتیمیزیا سیبری و ولگاریس بر روی سلول‌های سرطانی ملانومای موشی B16 بررسی شد. نتایج مطالعات گذشته نشان داده است که مواد موثره درمنه دارای خاصیت سایتوتوکسیک برروی سلول‌های سرطانی من جمله MCF-7 (۱۷) سلول‌های سرطان پستان انسانی، کبد، سلول‌های پرومیلو سیتیک (-HL-60)، سلول‌های سرطانی معده و چندین رده سلول سرطانی انسانی می‌باشند (۲۱، ۲۲). آرتیمیزینین یکی از سکوئی ترپن‌هایی است که در گونه‌های مختلف این گیاه وجود دارد و فعالیت ضد سرطانی آن در محیط‌های برون و درون تنی ثابت شده است (۲۲-۲۶).

مشخص شده است که آرتیمیزینین و مشتقات فعال آن قادر هستند فعالیت آنزیوژن و متاستاز را در بعضی سلول‌های سرطانی مهار کنند (۲۱). در مطالعه

- Bertuccio P, Malvezzi M, et al. The global decrease in cancer mortality: trends and disparities. *Ann Oncol.* 2016;27(5):926-33.
2. Desai AG, Qazi GN, Ganju RK, El-Tamer M, Singh J, Saxena AK, et al. Medicinal plants and cancer chemoprevention. *Curr Drug Metab.* 2008;9(7):581-91.
3. Taleghani A, Emami SA, Tayarani-Najaran Z. Artemisia: a promising plant for the treatment of cancer. *Bioorg Med Chem.* 2020;28(1):115180.
4. Fulda S, Debatin KM. Extrinsic versus intrinsic apoptosis pathways in anticancer chemotherapy. *Oncogene.* 2006;25(34):4798-811.
5. Smith-Warner SA, Elmer PJ, Tharp TM, Fosdick L, Randall B, Gross M, et al. Increasing vegetable and fruit intake: randomized intervention and monitoring in an at-risk population. *Cancer Epidemiol Prev Biomarkers.* 2000;9(3):307-17.
6. Calderone V, Martinotti E, Baragatti B, Cristina Breschi M, Morelli I. Vascular effects of aqueous crude extracts of *Artemisia verlotorum* Lamotte (Compositae): in vivo and in vitro pharmacological studies in rats. *Phytother Res.* 1999;13(8):645-8.
7. Kumar S, Suresh P, Vijayababu M, Arunkumar A, Arunakaran J. Anticancer effects of ethanolic neem leaf extract on prostate cancer cell line (PC-3). *J Ethnopharmacol.* 2006;105(1):246-50.
8. El-Massry KF, El-Ghorab AH, Farouk A. Antioxidant activity and volatile components of Egyptian *Artemisia judaica* L. *Food Chem.* 2002;79(3):331-6.
9. Elsharkawy A, Oakley F, Mann D. The role and regulation of hepatic stellate cell apoptosis in reversal of liver fibrosis. *Apoptosis.* 2005;10(5):927-39.
10. Henson PM, Bratton DL, Fadok VA. Apoptotic cell removal. *Curr Biol.* 2001;11(19):R795-R805.
11. Tamm C. Apoptotic cell death in neural stem cells exposed to toxic stimuli: Institutet för miljömedicin (IMM)/Institute of Environmental Medicine; 2007.
12. Borchers AT, Hackman RM, Keen CL, Stern JS, Gershwin ME. Complementary medicine: a review of immunomodulatory effects of Chinese herbal medicines. *The American journal of clinical nutrition.* 1997;66(6):1303-12.
13. Ghahreman A. Flore de l'Iran. Teheran: University of Teheran d, rec'd. 1993.
14. Asgary S, Dinani NJ, Madani H, Mahzouni P. Ethanolic extract of *Artemisia aucheri* induces regression of aorta wall fatty streaks in hypercholesterolemic rabbits. *Die Pharmazie-An Int J Pharma Sci.* 2008;63(5):394-7.
15. Mohammadpoor SK, Yari M, Rustaiyan A, Masoudi S. Chemical Constituents of the Essential Oil of *Artemisia aucheri* Boiss.—a Species Endemic to
- سیری بیشتر بود، اما هر دو گیاه تفاوت معناداری نسبت به کنترل منفی از خود نشان دادند (شکل‌های ۱-۳). با توجه به اینکه فعال سازی سیتوکروم سی بیانگر شروع آبشار داخلی آپوپتوز می‌باشد، می‌توان این نتایج را برداشت کرد که مسیر القاء آپوپتوزیس توسط این دو گیاه از مسیر داخل سلولی می‌باشد.
- در ادامه مطالعه تاثیر گیاهان ولگاریس و سیری بر میزان فعالیت کاسپاز ۳ مورد بررسی قرار گرفت. با توجه به نتایج به دست آمده در این تست نیز مانند تست سیتوکروم سی هر دو گیاه تفاوت معناداری نسبت به کنترل منفی داشته، اما میزان تفاوت در گیاه ولگاریس نسبت به گیاه سیری بیشتر بوده است. همچنین در مقایسه با کنترل مثبت (داروی دوک سوروبی سین) گیاه ولگاریس تفاوت معنادار بیشتری داشته است در صورتی که در مقایسه‌ی گیاه سیری و کنترل مثبت، سیری به نسبت کنترل مثبت اثربخشی کمتری در میزان فعالیت کاسپاز ۳ داشته است.
- ### نتیجه‌گیری
- نتایج حاصله از تست‌های اندازه گیری فعالیت کاسپاز ۳ و میزان غلظت سیتوکروم سی، این استنتاج را ایجاد می‌کند که گیاه ولگاریس نسبت به سیری در هر دو تست تفاوت معنادار بیشتری در مقایسه با کنترل منفی و در تست کاسپاز ۳ در مقایسه با کنترل مثبت داشته است و از این رو محتمل است که توانایی بیشتری در القاء مسیر داخلی آپوپتوز در مقایسه با گیاه سیری داشته باشد. با توجه به نتایج حاصله می‌توان نتیجه‌گرفت که مسیر القاء مرگ توسط این دو گیاه درون سلولی و میتوکندریایی می‌باشد.
- ### تقدیر و تشکر
- بدین وسیله از دانشگاه علوم پزشکی شیراز به خاطر حمایت مالی از این طرح قدردانی می‌شود (گرنت شماره: ۰۷۰-۱۹۴۷۴-۰۱).
- ### References
1. Hashim D, Boffetta P, La Vecchia C, Rota M,

- Iran. J Essen Oil Res. 2002;14(2):122-3.
16. Bora KS, Sharma A. The genus Artemisia: a comprehensive review. *Pharma Biol.* 2011;49(1):101-9.
 17. Gordanian B, Behbahani M, Carapetian J, Fazilati M. Evaluation of Cytotoxicity of Sagebrush Plain Extract on Human Breast Cancer MCF7 Cells. *Armaghane danesh.* 2013;18(3):241-51.
 18. Akroud A, Gonzalez LA, El Jani H, Madrid PC. Antioxidant and antitumor activities of Artemisia campestris and Thymelaea hirsuta from southern Tunisia. *Food Chem Toxicol* 2011;49(2):342-7.
 19. Kim MJ, Kim DH, Na HK, Oh TY, Shin CY, Surh YJ. Eupatilin, a pharmacologically active flavone derived from Artemisia plants, induces apoptosis in human gastric cancer (AGS) cells. *Journal of environmental pathology, toxicology and oncology.* 2005;24(4).
 20. Ghorbani-Ghouzhd H, Sahraroo A. Composition of Essential Oil of Artemisia sieberi and Artemisia khorasanica from Iran. *World Appl Sci J.* 2008;5(3):363-66.
 21. Chen HH, Zhou HJ, Fang X. Inhibition of human cancer cell line growth and human umbilical vein endothelial cell angiogenesis by artemisinin derivatives in vitro. *Pharmacol Res.* 2003;48(3):231-6.
 22. Amat N, Upur H, Blažeković B. In vivo hepatoprotective activity of the aqueous extract of Artemisia absinthium L. against chemically and immunologically induced liver injuries in mice. *J Ethnopharmacol.* 2010;131(2):478-84.
 23. Wu G-D, Zhou H-J, Wu X-H. Apoptosis of human umbilical vein endothelial cells induced by artesunate. *Vasc Pharmacol.* 2004;41(6):205-12.
 24. Asghar MN, Khan IU, Bano N. In vitro antioxidant and radical-scavenging capacities of Citrullus colocynthes (L) and Artemisia absinthium extracts using promethazine hydrochloride radical cation and contemporary assays. *Revista de Agroquímica y Tecnología de Alimentos.* 2011;17(5):481-94.
 25. Rombauts K, Heyerick A, Consortium C-C. Artemisia annua. CAM-Cancer; 2011.
 26. Emami SA, Vahdati-Mashhadian N, Vosough R, Oghazian MB. The anticancer activity of five species of Artemisia on Hep2 and HepG2 cell lines. *Pharmacologyonline.* 2009;3:327-39.
 27. Gavanji S, Bakhtari A, Famurewa AC, Othman EM. Cytotoxic Activity of Herbal Medicines as Assessed in Vitro: A Review. *Chem Biodivers.* 2023;20(2):e202201098.
 28. Honeywell R, Yarzadah K, Giovannetti E, Losekoot N, Smit E, Walraven M, et al. Simple and selective method for the determination of various tyrosine kinase inhibitors used in the clinical setting by liquid chromatography tandem mass spectrometry. *J Chromatography B.* 2010;878(15):1059-68.
 29. Buommino E, Baroni A, Canozo N, Petrazzuolo M, Nicoletti R, Vozza A, et al. Artemisinin reduces human melanoma cell migration by down-regulating alpha V beta 3 integrin and reducing metalloproteinase 2 production. *Invest New Drugs.* 2009;27(5):412-8.